

ВОЛНОВОЕ СОПРОТИВЛЕНИЕ
АМФИБИЙНЫХ СУДОВ НА ВОЗДУШНОЙ ПОДУШКЕ
В БИТОМ ЛЬДУ

УДК 624.124:532.595

В. М. Козин, А. В. Милованова

Институт машиноведения и металлургии ДВО РАН,
681005 Комсомольск-на-Амуре

Открытые сравнительно недавно ледокольные качества амфибийных судов на воздушной подушке (СВПА) [1] обусловливают необходимость решения ряда новых прикладных задач [2]. Одним из перспективных методов разрушения льда с помощью СВПА считается резонансный [2], реализация которого происходит на скоростях с максимальным волновым сопротивлением. В связи с этим актуальной становится проблема определения волнового сопротивления СВПА в ледовых условиях. При отсутствии льда данная задача теоретически решена для движения судна по глубокой и мелкой воде [3, 4], в канале [5] и с ускорением [6]. В настоящей работе рассматривается стационарная задача о волновом сопротивлении СВПА в битых льдах.

1. Пусть по бесконечной области, покрытой битым льдом, перемещается с постоянной скоростью u заданная система поверхностных давлений СВПА. В соответствии с принципом обратимости движения предположим, что к свободной поверхности жидкости, покрытой битым льдом и имеющей при $x \rightarrow \infty$ скорость $-u$, приложена нагрузка $q(x, y)$. Неподвижная относительно судна система координат располагается следующим образом: плоскость xOy совпадает с невозмущенной поверхностью раздела лед — вода, ось x направлена в сторону движения судна, ось z — вертикально вверх. Предполагается, что вода — идеальная несжимаемая жидкость плотности ρ_2 . Битый лед представляется в виде плавающих масс, не связанных между собой, при этом силы взаимодействия между отдельными льдинами не учитываются, а их размеры предполагаются достаточно малыми по сравнению с длиной волны, так что не происходит изгиба льдин [7]. Данний подход, как показывают натурные испытания [2], вполне оправдан при решении вопросов, связанных с изучением ходкости СВПА во льдах, разрушенных резонансным способом.

Используется предположение о сплошности области, покрытой битым льдом [7], при этом поверхностная плотность, которая совпадает с массой плавающих частиц на единице поверхности, задается непрерывной функцией

$$m(x, y) = \rho_1 h \equiv \rho_1^0 s(x, y)h(x, y), \quad (1.1)$$

где ρ_1^0 — физическая плотность льда; $s(x, y)$ — безразмерная функция сплоченности льда [7] ($0 \leq s \leq 1$); $h(x, y)$ — толщина льда. Для упрощения задачи в дальнейшем предполагается, что h и s — величины постоянные.

В принятой системе координат потенциал скорости возмущенного движения жидкости $\varphi(x, y, z)$ должен удовлетворять уравнению Лапласа $\Delta\varphi = 0$ и линеаризованным граничным условиям:

$$z = 0: \frac{\partial^2 \varphi}{\partial x^2} - \mu \frac{\partial \varphi}{\partial x} + \frac{g}{u^2} \frac{\partial \varphi}{\partial z} + \frac{\rho_1 h}{\rho_2} \frac{\partial^3 \varphi}{\partial z \partial x^2} = \frac{1}{\rho_2 u} \frac{\partial q}{\partial x}, \quad (1.2)$$

$$z = -H: \frac{\partial \varphi}{\partial z} = 0.$$

Здесь $\mu > 0$ — коэффициент рассеивающих сил [3, 8]; $H = H_1 - a$; H_1 — глубина водоема; $a = h\rho_1^0/\rho_2$ — глубина погружения льда при статическом равновесии. Для больших глубин, когда $H_1 \gg h$, можно считать $H \approx H_1$.

Согласно [3, 9], величина волнового сопротивления, действующего на СВПА, численно равна горизонтальной проекции равнодействующей сил давления на поверхности

$$R = \iint_{(\Omega)} q(x, y) \frac{\partial w(x, y)}{\partial x} dx dy, \quad (1.3)$$

где Ω — область распределения нагрузки $q(x, y)$; $w(x, y)$ — деформация поверхности флотирующей жидкости, определяемая в линейной теории волн следующим образом [10]:

$$w(x, y) = \frac{u}{g} \left(\frac{\partial \varphi(x, y, z)}{\partial x} \right) \Big|_{z=0} - \frac{q(x, y)}{\rho_2 g} + \frac{u\rho_1 h}{\rho_2 g} \left(\frac{\partial^2 \varphi(x, y, z)}{\partial x \partial z} \right) \Big|_{z=0}. \quad (1.4)$$

Искомый потенциал φ вычисляется по схеме, предложенной в [3]. Согласно [3, 9], функции $\varphi(x, y, z)$ и $q(x, y)$ представим в виде интегралов Фурье:

$$\begin{aligned} \varphi(x, y, z) &= \frac{1}{4\pi^2} \int_0^\infty k dk \int_{-\pi}^\pi d\theta \iint_{(\Omega)} (A e^{-kz} + B e^{kz}) \exp\{ik[(x - x_0) \cos \theta + \\ &\quad + (y - y_0) \sin \theta]\} dx_0 dy_0, \\ q(x, y) &= \frac{1}{4\pi^2} \int_0^\infty k dk \int_{-\pi}^\pi d\theta \iint_{(\Omega)} q(x_0, y_0) \exp\{ik[(x - x_0) \cos \theta + (y - y_0) \sin \theta]\} dx_0 dy_0. \end{aligned} \quad (1.5)$$

Здесь A и B — неизвестные функции переменных x_0, y_0, k, θ , подлежащие определению.

Подстановка (1.5) в граничные условия (1.2), применение теории вычетов и последующий предельный переход при $\mu \rightarrow 0$ [3, 8] позволяют получить функцию потенциала $\varphi(x, y, z)$. Показано, что волновое сопротивление системы поверхностных давлений определяется только частью потенциала, которая при докритических скоростях движения ($u < \sqrt{g}H$) имеет вид

$$\begin{aligned} \varphi(x, y, z) &= -\frac{1}{2\pi\rho_2 u} \iint_{(\Omega)} q(x_0, y_0) dx_0 dy_0 \int_{\lambda_0}^\infty \frac{\operatorname{ch}(\lambda(z + H))}{\operatorname{ch}(\lambda H)} \times \\ &\times \frac{\cos \left[(x - x_0) \sqrt{\nu \lambda \operatorname{th}(\lambda H) / (1 + \rho_1 h \lambda \operatorname{th}(\lambda H) / \rho_2)} \right]}{\sqrt{\lambda^2 - \nu \lambda \operatorname{th}(\lambda H) / (1 + \rho_1 h \lambda \operatorname{th}(\lambda H) / \rho_2) (1 + (\rho_1 / \rho_2) h \lambda \operatorname{th}(\lambda H))}} \times \\ &\times \cos \left[(y - y_0) \sqrt{\lambda^2 - \nu \lambda \operatorname{th}(\lambda H) / (1 + \rho_1 h \lambda \operatorname{th}(\lambda H) / \rho_2)} \right] \lambda d\lambda, \end{aligned} \quad (1.6)$$

где $\nu = g/u^2$; λ_0 — решение трансцендентного уравнения $\nu \operatorname{th}(\lambda H) = \lambda(1 + (\rho_1 / \rho_2) h \lambda \operatorname{th}(\lambda H))$.

При критических и сверхкритических скоростях движения ($u \geq \sqrt{g}H$) в выражении для потенциала (1.6) величина λ_0 заменяется нулем.

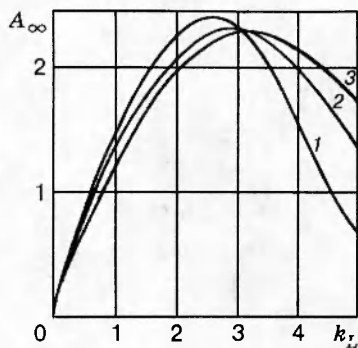


Рис. 1

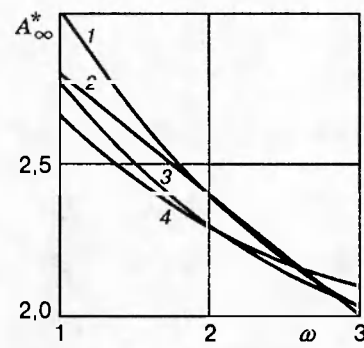


Рис. 2

2. В случае бесконечно глубокой жидкости ($H = \infty$) зависимость (1.6) упрощается. С учетом (1.3), (1.4) формула для волнового сопротивления прямоугольной системы постоянных давлений ($q(x, y) = q_0 \equiv \text{const}$), перемещающейся по поверхности битого льда, принимает вид

$$R_\infty/D = A_\infty q_0/(\rho_2 g L). \quad (2.1)$$

Здесь

$$A_\infty(k_L, \omega, \alpha) = \frac{8\omega}{\pi} \int_{\beta}^{\infty} \sin^2 \left(\frac{1}{2} \sqrt{\frac{k_L \lambda}{1 + \alpha \lambda}} \right) \sin^2 \left(\frac{1}{2\omega} \sqrt{\lambda^2 - \frac{k_L \lambda}{1 + \alpha \lambda}} \right) \left(\lambda^2 - \frac{k_L \lambda}{1 + \alpha \lambda} \right)^{-3/2} \lambda d\lambda;$$

$k_L = gL/u^2$; $D = q_0 LB$; L и B — длина и ширина воздушной подушки; $\omega = L/B$ — ее удлинение; $\alpha = \rho_1 h/(\rho_2 L)$ — безразмерный параметр, характеризующий сплоченность льда и его толщину; β — решение квадратного уравнения $\lambda(1 + \alpha \lambda) = k_L$.

Необходимо отметить, что в предельном случае, когда $h \rightarrow 0$ либо $\rho_1 \rightarrow 0$ ($s \rightarrow 0$), формула (2.1) выходит на зависимость, полученную в [3] для «чистой» поверхности бесконечно глубокой жидкости.

Основные результаты численных расчетов по формуле (2.1) представлены на рис. 1, 2. Кривые 1–3 на рис. 1, соответствующие $\omega = 2$ и $\alpha = 0; 0,045; 0,09$, иллюстрируют влияние битого льда на коэффициент волнового сопротивления в зависимости от k_L . Видно, что с ростом α точка абсолютного максимума коэффициента A_∞ сдвигается в область более низких скоростей, а абсолютный максимум уменьшается. Кривые 1, 3, 4 на рис. 2 отражают зависимость от параметра ω абсолютного максимума коэффициента волнового сопротивления A_∞^* при $\alpha = 0; 0,045; 0,09$ соответственно. Из анализа поведения кривых можно сделать вывод, что при движении СВПА по поверхности водоема бесконечно большой глубины влияние битого льда на волновое сопротивление судна незначительно. Для $\alpha \leq 0,09$ и $\omega = 1,5 \div 3,0$ абсолютный максимум коэффициента волнового сопротивления можно с погрешностью менее 7 % рассчитывать по следующей линейной зависимости (прямая 2 на рис. 2):

$$A_\infty^* = 3,2 - 0,4\omega. \quad (2.2)$$

3. Рассмотрим движение прямоугольной системы постоянного давления q_0 по поверхности водоема конечной глубины. В случае докритических скоростей ($u < \sqrt{g}H$) учет

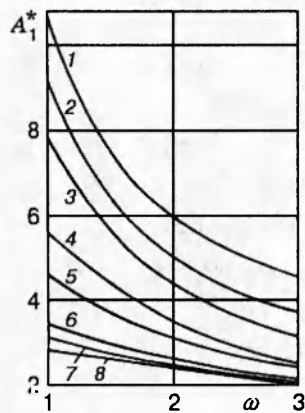


Рис. 3

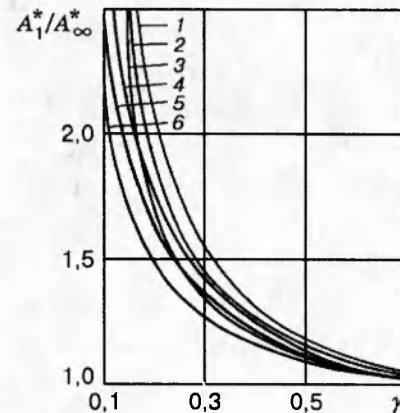


Рис. 4

формул (1.3)–(1.5) приводит к зависимости для волнового сопротивления прямоугольной системы постоянных давлений q_0 в битых льдах:

$$R/D = q_0 A_1 / (\rho_2 g L). \quad (3.1)$$

Здесь

$$A_1(k_H, \omega, \gamma, \alpha) = \frac{8\omega\gamma}{\pi} \int_{\tau_0}^{\infty} \sin^2 \left(\frac{1}{2\gamma} \sqrt{\frac{k_H \tau \operatorname{th} \tau}{1 + \alpha \gamma^{-1} \tau \operatorname{th} \tau}} \right) \times \\ \times \sin^2 \left(\frac{1}{2\omega\gamma} \sqrt{\tau^2 - \frac{k_H \tau \operatorname{th} \tau}{1 + \alpha \gamma^{-1} \tau \operatorname{th} \tau}} \right) \left(\tau^2 - \frac{k_H \tau \operatorname{th} \tau}{1 + \alpha \gamma^{-1} \tau \operatorname{th} \tau} \right)^{-3/2} \tau d\tau;$$

$\gamma = H/L$; $k_H = gH/u^2$; τ_0 — решение трансцендентного уравнения $k_H \operatorname{th} \tau = \tau(1 + \alpha \gamma^{-1} \tau \operatorname{th} \tau)$. При сверхкритических скоростях движения ($u \geq \sqrt{gH}$) формула (3.1) остается в силе, но с условием, что $\tau_0 = 0$.

Результаты численного исследования формулы (3.1) представлены на рис. 3 и 4. На рис. 3 показана зависимость A_1^* от удлинения ω для различных α и γ . Кривые 1–3 соответствуют $\gamma = 0,15$, $\alpha = 0; 0,018; 0,045$; 4 и 5 — $\gamma = 0,3$, $\alpha = 0$ и $0,045$; 6 и 7 — $\gamma = 0,6$, $\alpha = 0$ и $0,045$; 8 — зависимость (2.2). Видно, что с уменьшением относительной глубины γ влияние параметров α и ω на A_1^* усиливается.

На рис. 4 представлена зависимость относительной величины A_1^*/A_∞^* от γ , где коэффициенты A_1^* и A_∞^* взяты при одинаковых α и ω . Кривые 1–3 отвечают $\alpha = 0$ и $\omega = 1,67; 2; 2,5$; 4–6 — $\alpha = 0,045$ и $\omega = 1,67; 2; 2,5$. Видно, что с уменьшением глубины A_1^* резко возрастает и существенно превосходит A_∞^* . С увеличением γ значение A_1^*/A_∞^* стремится к единице.

Выполненные расчеты позволяют сделать вывод, что при относительной глубине водоема $\gamma \geq 0,8$ для расчета волнового сопротивления СВПА в битых льдах можно использовать формулу (2.2). С уменьшением глубины водоема абсолютный максимум коэффициента волнового сопротивления резко возрастает, а влияние битого льда усиливается.

ЛИТЕРАТУРА

1. Dutfield D. O., Dickins D. E. Icebreaking trials with bell Aerospace Voyager A.C.V. // Canadien Aeronautics and Space J. 1974. V. 20, N 10. P. 471–474.
2. Зуев В. А., Козин В. М. Использование судов на воздушной подушке для разрушения ледяного покрова. Владивосток: Изд-во Дальневосточного ун-та, 1988.
3. Большаков В. П. Волновое сопротивление системы поверхностных давлений // Доклад на XIII научно-технической конференции НТО СП по теории корабля («Крыловские чтения»): Тр. НТО СП. Теория корабля. 1963. Вып. 49.
4. Разработка методов расчета сопротивления движению амфибийных СВП, движущихся по тихой воде в режиме на воздушной подушке // Техотчет ЦНИИ им. акад. А. Н. Крылова. 1983. Вып. 30020.
5. Newman J. N., Poole F. A. P. The wave resistance of a moving pressure distribution in a canal // Schiffstechnik. 1962. Bd 9, H. 45.
6. Doctors L. J., Sharma S. D. The wave resistance of an air cushion vehicle in steady and accelerated motion // J. Ship Research. 1972. V. 16, N 4. P. 248–260.
7. Хейсин Д. Е. Динамика ледяного покрова. Л.: Гидрометеоиздат, 1967.
8. Сретенский Л. Н. Теория волновых движений жидкости. М.: Наука, 1977.
9. Основы теории судов на воздушной подушке / Ю. Ю. Бенуа, В. К. Дьяченко, Б. А. Колызаев и др. Л.: Судостроение, 1970.
10. Жевандров П. Н. Корабельные волны на поверхности флотирующей жидкости // Журн. вычисл. математики и мат. физики. 1988. Т. 28, № 7. С. 1110–1115.

*Поступила в редакцию 26/X 1992 г.,
в окончательном варианте — 21/VII 1995 г.*
